



سنجش از دور

و

GIS ایران



سنجش از دور و GIS ایران سال پانزدهم، شماره چهارم، زمستان ۱۴۰۲
Vol.15, No. 4, Winter 2023 Iranian Remote Sensing & GIS

۶۱-۸۲

مقاله پژوهشی

کاربرد داده‌های ماهواره سنتینل-۲ در تدقیق تغییرات پوشش اراضی در محدوده بستر تالاب انزلی

- مریم حقیقی خمامی^{۱*}، محمد پناهندی^۲، محمدمجود تجدد^۳، فریبرز جمالزاد فلاح^۴، مهسا عبدالی^۵
۱. مریم گروه پژوهشی محیط‌زیست طبیعی، پژوهشکده محیط‌زیست جهاد دانشگاهی، رشت
 ۲. استادیار گروه پژوهشی فراوری پسماند، پژوهشکده محیط‌زیست جهاد دانشگاهی، رشت
 ۳. کارشناس پژوهش، گروه پژوهشی محیط‌زیست طبیعی، پژوهشکده محیط‌زیست جهاد دانشگاهی، رشت
 ۴. استادیار گروه پژوهشی محیط‌زیست طبیعی، پژوهشکده محیط‌زیست جهاد دانشگاهی، رشت
 ۵. کارشناس پژوهش، گروه پژوهشی محیط‌زیست طبیعی، پژوهشکده محیط‌زیست جهاد دانشگاهی، رشت

تاریخ پذیرش مقاله: ۱۴۰۱/۰۸/۱۸

تاریخ دریافت مقاله: ۱۴۰۱/۰۱/۱۷

چکیده

تالاب‌ها بهمنزله جزء اساسی اکوسیستم جهانی در پیشگیری یا کاهش شدت سیل، تغذیه سفره‌های آب زیرزمینی و فراهم‌آوردن زیستگاه منحصربه‌فرد برای گیاهان و جانوران و دیگر خدمات و سودمندی‌ها، از عناصر اصلی استراتژی حفاظت منطقه‌ای‌اند. تالاب بین‌المللی انزلی در استان گیلان یکی از ده تالاب ارزشمند جهان است که به لحاظ تغییرات ساختاری حاصل از فرایندهای انسان‌ساخت، دچار تغییرات زیادی در کاربری اراضی و پوشش گیاهی شده و ماهیت و کارکردهای اکولوژیک آن بدexter افتاده است. هدف این مطالعه بررسی کاربرد داده‌های سنجش از دور در نقشه‌سازی تغییرات الگوی فضای سیمای سرزمین، به‌کمک نمونه‌برداری زمینی در سطح بستر تالاب و تجزیه و تحلیل تغییرات انسجام سرزمینی براساس متريک‌های سیمای سرزمین است. ابتدا داده‌های ماهواره‌ای بررسی شد و از طریق طبقه‌بندی تصاویر سنتینل-۲، متعلق به سال‌های ۲۰۱۶ تا ۲۰۲۰ با نقاط نمونه‌برداری زمینی، نقشه کلاس‌های پوشش اراضی در هفت طبقهٔ کشاورزی، بایر، نیزار، جنگل، مرتع، پهنه‌آبی و شهری، برای نقشه‌سازی و تجزیه و تحلیل متريک‌های سیمای سرزمین، پدید آمد. پس از استخراج متريک‌های سیمای سرزمین در سطح کلاس و سیمای سرزمین با نرم‌افزار Fragstats و تعیین متريک‌های مناسب طبق روش PCA، با نرم‌افزارهای R و Canoco، متريک‌های LPI، ENN_MN، NP، TE، CA، PARA_MN، AREA_MN، SHAPE_MN، LSI، IJI، JI، MN ازهم گسيخته شده، از نظر شکلی، پيچيده‌تر و نامنظم‌تر و از نظر ميزان يكاريچگي عناصر ساختاری، ناپيوسته‌تر شده است.

کليدواژه‌ها: متريک سيمای سرزمين، سنجش از دور، کاربری اراضی، تغییرات ساختاری، تالاب انزلی.

* نويسنده مکاتبه‌کننده: گیلان، رشت، خیابان ملت، ضلع غربی باغ محتمم، خیابان شهید سیادتی، پژوهشکده محیط‌زیست جهاد دانشگاهی. تلفن: ۰۹۱۱۸۰۶۷۷۰۳، دورنگار: ۰۱۳۳۳۶۴۰۲۸

Email: haghghi@acecr.ac.ir

<https://orcid.org/0000-0002-7053-8020>

<https://dx.doi.org/10.48308/gisj.2022.102888>



Copyright: © 2023 by the authors. Submitted for possible open access publication under the terms and conditions of the Creative Commons Attribution (CC BY) license (<https://creativecommons.org/licenses/by/4.0/>).

۱- مقدمه

عرصه‌های طبیعی است (Meyer & Turner, 1994). در موارد بسیاری، تصاویر ماهواره‌ای یا عکس‌های هوایی اطلاعات مهمی به منظور برآورد نوع، شدت و وسعت تغییرات پوشش اراضی فراهم می‌کنند. این نوع کاربرد تصاویر ماهواره‌ای گاه تنها گزینه عملی برای کسب اطلاعات است (Rafii et al., 2012). تهیئة نقشه‌های کاربری و پوشش اراضی، به منظور اطلاع از کاربری‌ها و برنامه‌ریزی برای کاربری‌های گوناگون و دلخواه از جمله اطلاعات اساسی در استفاده بهینه از منابع زمینی است و طبقه‌بندی تصاویر ماهواره‌ای رایج‌ترین روش در تهیئة نقشه‌های مکانی پوشش / کاربری اراضی شمرده می‌شود (Mathur & Foody, 2008). این نکته درباره مناطق حساس، به ویژه تالاب‌ها، از اهمیت بیشتری برخوردار است (Lambim & Gaist, 2006). تالاب‌ها نظام‌هایی حیات‌بخش‌اند که مطلقاً جایگزینی ندارند. امروزه بسیاری از سنجنده‌های نوری، لیزری و راداری ماهواره‌ها، در طول موج‌های متفاوتی، سطح زمین را پایش می‌کنند. از پیشرفته‌ترین این ماهواره‌ها، سری ماهواره‌های سنتیل آلتیس فضایی اروپاست که ماهواره سنتیل-۲ را در سال ۲۰۱۵، برای دیده‌بانی از زمین سنتیل-۱ باشد. این ماهواره از سطح زمین و عوارض موجود در آن به منظور بررسی پوشش زمین و عوارض موجود در آن مانند جنگل‌ها و خدماتی چون بررسی یا پیش‌بینی بلایای طبیعی به فضا پرتاب کرد (Rafii et al., 2012) تا، به صورت سیستماتیک، تصاویر اپتیکی را در قدرت تفکیک مکانی بالا (۱۰ تا ۶۰ متر) از سطح خشکی و دریا برداشت کند. هدف اصلی مأموریت این ماهواره تهیئة داده‌های ماهواره‌ای با وضوح بالا، برای نظرارت بر کاربری اراضی، تغییرات آب‌وهوا و بلایای طبیعی زمین است. هدف مهم دیگر آن تکمیل سایر برنامه‌های ماهواره‌ای جهانی، مانند برنامه‌های ماهواره‌ای لنست^۱ و SPOT^۲، با اطمینان از تداوم نظرارت بر پویایی روی سطح زمین است (Phiri et al., 2020).

1. Landsat

2. Satellite Pour l'Observation de la Terre

تالاب‌ها از جمله مهم‌ترین اکوسیستم‌ها و عرصه‌های حیات در جهان و یکی از بارزترین زیبایی‌ها و شاهکارهای خلقت‌اند. تالاب‌ها خدمات اکولوژیکی ارزشمندی همچون حفظ تنوع زیستی، حفظ کیفیت آب، جلوگیری از سیل و خشکسالی، کاهش آلودگی‌ها و زیستگاه حیات‌وحش را فراهم می‌کنند (Kim et al., 2011) و یکی از دارایی‌های طبیعی شناخته می‌شوند که پشتوانه‌های مهم گوناگونی برای جامعه بشری فراهم می‌کنند؛ با این حال در پی حوادث گوناگون انسانی و طبیعی، در معرض تهدید قرار دارند و مدیریت ضعیفی دارند (Orimoloye et al., 2019). فاکتورها و عوامل اصلی که کارکردهای اکولوژیک این اکوسیستم‌ها را دگرگون می‌کنند، تغییرات پوشش اراضی است که طی آن، زراعت‌های متصرف جایگزین پوشش گیاهی طبیعی می‌شود و نیز بهره‌برداری بیش از اندازه از آب‌های زیرزمینی، خشکاندن و زهکشی‌های مصنوعی تالاب و دگرگونی و کانال‌کشی رودخانه‌ها؛ همچنین فعالیت‌هایی مانند احداث طرح‌های بزرگ آبیاری که مقدار زیادی آب نیاز دارند و ممکن است باعث کاهش جریان ورودی تالاب و همچنین کاهش جریان خروجی از تالاب شود (Ghorbani et al., 2013).

ایران با داشتن بیش از ۲۵۰ تالاب بزرگ و کوچک و به دلیل موقعیت جغرافیایی اش، از اهمیت ویژه‌ای در آسیای جنوب‌غرب برخوردار است. از این تعداد تالاب، ۲۵ سایت در فهرست رامسر با عنوان تالاب‌های مهم جهانی ثبت شده‌اند و چندین تالاب دیگر نیز در حال مطالعه برای پیوستن به این معاهده‌اند (Department of Environment, 2022). ارزیابی روند تغییرات کاربری اراضی فرایندی است که به ایجاد درک صحیح از نحوه تعامل انسان و محیط‌زیست منجر می‌شود. تغییرات کاربری یکی از عوامل مهم در تغییر جریان هیدرولوژیک، فرسایش حوضه و انهدام تنوع‌زیستی است؛ بنابراین می‌توان، با اطلاع از روند تغییرات کاربری اراضی، در راستای هدایت اکوسیستم به سمت تعادل گام برداشت. داشتن آمار و اطلاعات به‌هنگام لازمه مدیریت صحیح

گوگل ارث انجین، تالاب‌های جزیره نیوفاندلند واقع در کانادا را شناسایی و فهرست‌بندی کردند. دهکردی^۱ و همکاران (۲۰۲۲)، برای تهیه نقشه زمین‌های کشاورزی در دو کلاس زراعی و غیرزراعی، از تلفیق روش‌های قطعه‌بندی و طبقه‌بندی در گوگل ارث انجین و شاخص‌های مستخرج از تصاویر سنتیل-۲ بهره جسته‌اند. بیات^۲ و همکاران (۲۰۲۲) نیز، با تلفیق طبقه‌بندی تصاویر سنتیل-۲ و داده‌های زمینی، نقشه پراکنش صنوبرکاری‌های استان زنجان را با صحت ۹۶٪ و با استفاده از الگوریتم طبقه‌بندی ماشین بردار پشتیبان^۳، بهدست آوردند. طبق نتایج، بیشترین میزان صنوبرکاری در زنجان است.

ازطرفی تالاب‌ها، با حفظ ویژگی‌های طبیعی، در دستیابی به ترکیب بوم‌شناسی و سیمای سرزمین مناطق طبیعی کاربرد دارند. الگوهای کاربری‌های مجاور این اکوسیستم‌های طبیعی، عملکرد آنها را در سیمای سرزمین منطقه تعیین می‌کند؛ ازین‌رو شناخت تغییرات سیمای سرزمین، طی زمان، برای ارزیابی تذریغ توسعه، پیش‌بینی تغییرات محیط‌های طبیعی آن سیمای سرزمین، ارزیابی نتایج راهبردهای متفاوت مدیریتی و شناخت مناطق حساس، به منظور طرح‌ریزی و مدیریت پایدار سرزمین، ضروری است (Madadi & Ashrafpour, 2010). تغییرات پوشش/کاربری سرزمین درنتیجه فعل و انفعالات پیچیده فاکتورهای ساختاری و عملکردی مرتبط با تقاضا، ظرفیت تکنولوژیکی و ارتباطات اجتماعی، تأثیرات گستردگی در سیمای سرزمین دارد (Matsushita et al., 2006).

-
- 1. Martin-Gallego
 - 2. Kool
 - 3. Mara
 - 4. Wei
 - 5. Mahdianpari
 - 6. Dehkordi
 - 7. Bayat
 - 8. Support Vector Machin (SVM)

بهدلیل قدرت تفکیک بالا، تصاویر چندباندی این ماهواره در مطالعات جدید بسیار پرکاربرد بوده است. مارتین-گایگو^۴ و همکاران (۲۰۲۰)، در تحقیقی در منطقه حفاظت‌شده شیلی، با استفاده از تصاویر ماهواره‌ای سنتیل-۲ به مدل‌سازی توده‌های درختان بومی و غیربومی، با موضوعیت تکه‌تکه‌شدن و تغییر ساختار سیمای سرزمین منطقه، با استفاده از الگوریتم درخت تصادفی اقدام کردند. نتایج نشان می‌دهد افزایش گونه‌های غیربومی خطر جدی برای رویشگاه‌های طبیعی این مناطق محسوب می‌شوند. کول^۵ و همکاران (۲۰۲۲)، با استفاده از داده‌های ماهواره سنتیل-۲، الگوی طغیان سالیانه و چندین ساله تالاب مارا^۶ در تانزانیا طی سال‌های ۲۰۱۷ تا ۲۰۱۹ را بازتولید کردند. الگوریتم جنگل تصادفی (RF) به صورت دو فصلی، با استفاده از هشت باند سنتیل-۲، پنج شاخص آب و پوشش گیاهی و یک مدل سطح دیجیتال (DSM)، برای طبقه‌بندی پوشش زمین در منطقه تالاب، به روش نیمه‌خودکار آموزش داده شد. نتایج نشان داد که گسترش و انقباض فصلی تالاب از رژیمی دووجهی سازگار پیروی می‌کند و نتایج حاصل از تعادل آب، اهمیت جریان رودخانه در فصل خشک و بارش محلی برای نوسانات فصلی را تأیید می‌کند. وای^۷ و همکاران (۲۰۲۲)، با استفاده از تصاویر سنتیل-۲، داده‌های تالاب رودخانه زرد را براساس الگوریتم جنگل تصادفی استخراج کردند و پس از آن فرایند تغییرات تالاب و عوامل غالب آن از سال ۲۰۱۱ تا ۲۰۱۵، با استفاده از ژئو دیکتکتور و گرانش، تحلیل و پایش شد. مدل مرکزی نتایج نشان داد که مجموعه متغیرهای بهینه متشکل از شاخص‌های لبه‌قمرز براساس الگوریتم جنگل تصادفی، با دقت کلی و ضریب کاپای ۹۳٪ و ۷۵٪، دارای بالاترین دقت طبقه‌بندی بودند. طی این سال‌ها، منطقه وسیعی از تالاب طبیعی در دلتای رودخانه زرد به تالابی مصنوعی تبدیل شده است. مهدیان‌پری^۸ و همکاران (۲۰۱۸)، با ترکیب داده‌های سنتیل-۱ و ۲ در سامانه تحت وب

مطالعه توسعه داده‌های سنجش از دور، مانند سنتینل-۲، در بهبود دقت محاسبه متريک‌های سيمای سرزمين، هنگام بررسی تغييرات کاربری اراضی در مناطق تالابی است؛ بنابراین از تصاویر سنتینل-۲، بهدلیل وجود باندهای ده‌متري برای افزایش دقت طبقه‌بندی و افزایش دقت محاسبه متريک‌های سيمای سرزمين در سطح محدوده بالاً فاصل تالاب انزلی استفاده می‌شود. با توجه به تراکم و تعدد انواع پوشش گیاهی در تالاب انزلی، استفاده از تصویر دارای قدرت تفکيک مكانی بالا می‌تواند در بهبود تجزيه و تحليل انواع پوشش و کاربری‌ها مؤثر باشد. پس از تصحیح تصاویر، طبقه‌بندی آنها با دو الگوريتم شبکه عصبی مصنوعی و ماشین بردار پشتيبان انجام و نتایج طبقه‌بندی، پس از اعتبارسنجی، بهمنظور بررسی تغييرات کاربری‌ها و مساحت آنها بين سال‌های ۲۰۱۶ تا ۲۰۲۰، با محاسبه متريک‌های سيمای سرزمين در سطح کلاس و سيمای سرزمين، تجزيه و تحليل می‌شود. در اين مطالعه، تالاب انزلی در جايگاه يكى از منابع محيط‌زیستی مهم در استان گilan بررسی می‌شود و سعی بر آن است تا، با به‌كارگيري فناوري سنجش از دور، سистем اطلاعات جغرافيايی و متريک‌های سيمای سرزمين، راهکارهایي مناسب بهمنظور حفاظت از اين تالاب مطرح شود.

۲- مواد و روش‌ها

۲-۱- منطقه مورد مطالعه

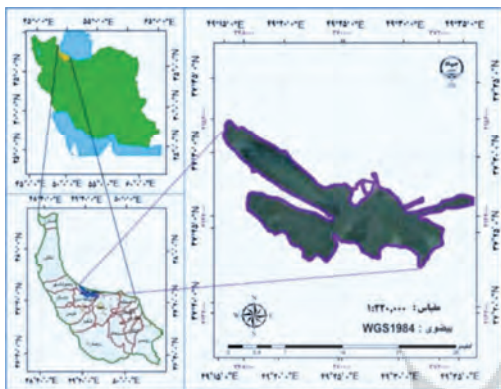
تالاب بین‌المللی انزلی در جنوب غرب دریای خزر قرار گرفته و يكى از ۲۵ تالاب بین‌المللی ايران است که در سال ۱۳۵۴، به‌همراه هجده تالاب ديگر، به دفتر کنوانسيون رامسر معرفی شد. منطقه ثبت‌شده آن،

1. Composition
2. Configuration
3. Patch
4. Metrics
5. Rajaei
6. Nazar Neghad
7. Karami & Mirsanjari
8. Barati

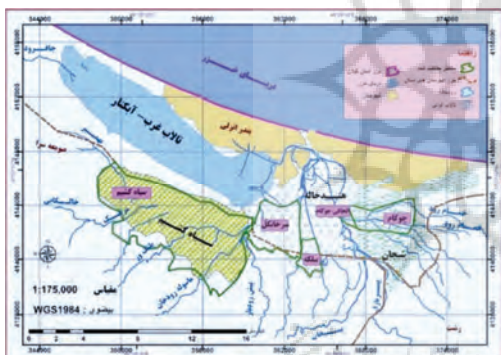
دو جنبه اساسی ساختار سيمای سرزمين، يعني ترکيب^۱ و شكل فضائي^۲ لكه‌ها^۳ را می‌توان به‌كمک متريک‌های سيمای سرزمين اندازه‌گيری کرد (Arekhi, 2015). امروزه سنجش از دور و سامانه اطلاعات جغرافيايی ابزارهای نوينی را بهمنظور کتی‌کردن اين ويزگی‌های سيمای سرزمين در بررسی تغييرات و امكان شناسایي، نقشه‌سازی، تجزيه و تحليل الگوهای سيمای سرزمين و متريک‌های گوناگون آن فراهم آورده‌اند که با بررسی اين متريک‌ها^۴ در گذر زمان، می‌توان روند تغييرات را بهتر مشاهده کرد و ماهیت عوامل پديداً آورنده را شناخت و آنها را در تصميم‌گيری‌های مدیريتي، مدنظر قرار داد (Maleki Najafabadi et al., 2011) (۲۰۲۰)، در ارزیابي تغييرات کاربری اراضی در حوضه آبخیز رودخانه‌های تجن، از تصاویر ماهواره‌ای و تجزيه و تحليل متريک‌های سيمای سرزمين بهره جستند؛ زيرا تغييرات کاربری اراضی و تخریب پوشش‌های طبیعی سبب اختلال در اکوسیستم و کاهش تنوع زیستی می‌شود. نظرنژاد^۵ و همکاران (۲۰۲۰) در حوضه آبخیز بالانج‌چای، دشتی و همکاران (۱۳۹۷) در تالاب ميانکاله، كرمی و ميرسنجری^۶ (۲۰۱۸) در تالاب هویزه و براتی^۷ و همکاران (۲۰۱۷) در پارک ملي و پناهگاه حيات‌وحش کلاه قاضی، بهمنظور بررسی تغييرات و تحليل تغييرات کاربری اراضی، از اين روش بهره برند.

همان‌طور که اشاره شد، يكى از مهم‌ترین مبانی مدیريت منابع طبیعی مطالعات در سرزمینه نقشه‌های تغييرات کاربری اراضی است؛ در حال حاضر، اطلاعات حاصل از سنجش از دور منبعی ايده‌آل برای تهیه نقشه‌پوشش و کاربری زمين، با استفاده از تصاویر ماهواره‌ای با قدرت تفکيک مكانی، طيفی و زمانی، محسوب می‌شود. سنجش از دور امکانات لازم و كافی را بهمنظور استخراج و به‌روزرسانی نقشه‌های پوشش زمين، در اختيار کاربران قرار می‌دهد. اطلاعات استخراج شده از طریق سنجش از دور اغلب کمک مکثی در مشاهده بصري الگوهای کاربری اراضی هستند. هدف اين

ارتباط با سایر بخش‌ها و افت تراز سطح آب را برای تجاوز ساکنان حاشیه تالاب به بخش‌های گوناگون سیاه‌کشیم و کاهش پهنه‌ای تالاب در این بخش باز کرده است (Modaber & Shokoohi, 2019).



شکل ۱. موقعیت جغرافیایی تالاب انزلی



شکل ۲. بخش‌های گوناگون تالاب انزلی

در این فهرست، شامل تمامی تالاب انزلی، تالاب سیاه‌کشیم، منطقه حفاظت‌شده سلکه و دیگر آب‌بندان‌های متعدد محدوده تالاب می‌شود (Ghahraman & Atar, 2002). این تالاب در موقعیت جغرافیایی $25^{\circ} 37^{\prime}$ تا $30^{\circ} 30^{\prime}$ عرض شمالی و $49^{\circ} 25^{\prime}$ تا $49^{\circ} 30^{\prime}$ طول شرقی قرار دارد (شکل ۱). وسعت محدوده بالاً فصل تالاب انزلی در فصل‌های زمستان و بهار، بهدلیل افزایش بارش، تا حدود ۲۱۸ کیلومترمربع و در فصل تابستان، بهسب کاهش حجم ورودی آب، کمبود بارش و افزایش میزان تبخیر، به ۸۰ کیلومترمربع می‌رسد (Ashouri & Abdoos, 2012). این تالاب از شمال به دریای خزر، از جنوب به صومعه‌سراء، از شرق به پیریازار و از غرب به کپورچال و آبکنار محدود می‌شود. تفاوت میان بخش‌های گوناگون تالاب از نظر خصوصیات جغرافیایی، ویژگی آب‌وهایی و توع گیاهی و جانوری، سبب تقسیم تالاب به چهار بخش شرقی، مرکزی، غربی و جنوب‌غرب (سیاه‌کشیم) شده است (شکل ۲). بخش مرکزی تالاب انزلی امروزه پهنه‌ای وسیعی است و دو پناهگاه حیات‌وحش سلکه و سرانکل، به همراه خروجی آب تالاب به دریا، در محدوده این بخش از تالاب قرار دارد. امروزه بیشتر بخش شرقی این تالاب پوشیده از گیاهان آبری بسیار و یکی از آلوده‌ترین و کم‌عمق‌ترین محدوده‌های تالاب انزلی است. پناهگاه حیات‌وحش چوکام در محدوده این بخش از تالاب قرار دارد. بخش غربی تالاب انزلی که از نوع لاغون است، پهنه‌ای آبی وسیعی به شمار می‌رود و عمیق‌ترین بخش تالاب در محدوده این بخش قرار دارد. سیاه‌کشیم قدیمی‌ترین منطقه حفاظت‌شده در مجموعه تالاب انزلی است که امروزه، به جز چند کلاسه (پهنه‌آبی) و رودخانه‌های جاری در آن، بقیه سطح آن از گیاهان آبری بسیار بسیار پوشیده شده است (Javedankherad et al., 2011). در سالیان اخیر، ارتباط بخش سیاه‌کشیم با سایر بخش‌ها، بهدلیل کاهش عمق، به حداقل رسیده است. مشاهدات میدانی نشان می‌دهد که این کاهش

۲-۲-داده‌ها

به منظور طبقه‌بندی بستر تالاب، از تصاویر ماهواره سنتینل-۲ استفاده شده که اطلاعات باندهای گوناگون آن در جدول ۱ آمده است. این ماهواره یکی از جدیدترین ماهواره‌های سازمان فضایی اتحادیه اروپاست. دلیل استفاده از آن بالا بودن قدرت تفکیک مکانی مناسب (۱۰، ۲۰ و ۶۰ متر) و قدرت تفکیک طیفی مناسب (دوازده باند از محدوده ۴۹۰ نانومتر تا ۲۱۹۰ نانومتر) است.

1. *Phragmites australis*

که از پوشش گیاهی منطقه تأثیر می‌پذیرد نیز، زمان مناسب در فصل رشد پوشش گیاهی است و تصاویر متعلق به ماههای خرداد تا مرداد بهترین تصاویر برای منطقه مورد مطالعه به شمار می‌رسد؛ زیرا این بازه زمانی بیشترین میزان رشد گیاهان آبزی را دربردارد و با ورود به فصل پاییز (ماههای آبان و آذر)، سردی هوا و بارندگی‌های مداوم، نخست آنکه رشد گیاهان آبزی کاملاً متوقف می‌شود و گاه کل گیاه از بین می‌رسد و دوم، شرایط آب‌وهای منطقه، به‌دلیل ابرناکی شدید و بارش‌های فراوان شامل باران و برف، امکان ثبت تصاویر ماهواره‌ای مناسب را نمی‌دهد. بنابراین پس از دریافت تصاویر مناسب، برای تفکیک اراضی محدوده تالاب، منطقه مورد مطالعه با توجه به شناخت از آن به هفت کلاس کاربری طبقه‌بندی شد؛ شامل نیزار، مرتع، کشاورزی، شهری، جنگل، پوشش آب و پوشش لاله تالابی. جدول ۲ بیانگر مشخصات تصاویر استفاده شده در این مطالعه است.

۳-۲- نمونه‌برداری زمینی

برداشت نمونه‌های تعلیمی با استفاده از دستگاه GPS^۱ به منظور طبقه‌بندی تصویر سنتینل-۲، متعلق به سال ۲۰۲۰، با مراجعه به تالاب انجام شد. این نمونه‌ها در سطح آبی، با استفاده از قایق و در سطح خشکی، با پیمایش زمینی در کل محدوده اطراف تالاب، با دقت برداشت شدند. نقاط نمونه برداشت شده (شکل ۳) به متنزله نمونه‌های تعلیمی، برای شناسایی کلاسه‌های گوناگون کاربری اراضی، به نرم‌افزار معرفی شدند. با توجه به برداشت نقاط نمونه و شناخت کامل

در این پژوهش، به منظور برخورداری از قدرت تفکیک مکانی ۱۰ متر برای طبقه‌بندی بهتر، از چهار باند ۲، ۳، ۴ و ۸ استفاده شده است.

جدول ۱. اطلاعات باندهای استفاده شده دریافتی از ماهواره سنتینل-۲

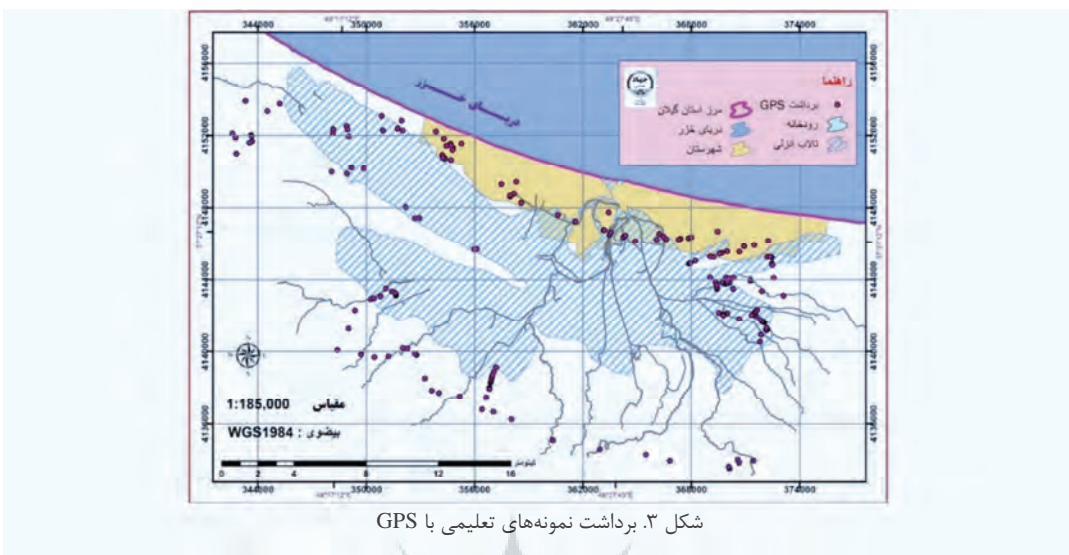
قدرت تفکیک مکانی (متر)	طول موج (نانومتر)	باندهای مورد استفاده
۱۰	۴۹۰	۲
۱۰	۵۶۰	۳
۱۰	۶۶۵	۴
۱۰	۸۴۲	۸

به منظور دریافت تصاویر محدوده مورد مطالعه، این تصاویر از وبگاه USGS (وبگاه زمین‌شناسی امریکا)، در دو دوره زمانی ۲۰۱۶ و ۲۰۲۰، دانلود شد. با توجه به ابری‌بودن این محدوده در بیشتر طول سال، تصاویر انتخابی متعلق به فصل تابستان بوده زیرا میزان تغییرات سطح و عمق تالاب از لی، پیش‌ازهمه، متاثر از تراز آبی دریای خزر و دبی رودخانه‌های ورودی به تالاب است و در گام‌های بعدی، مواردی همچون تغییرات کاربری و سپس بارش و دما باعث تغییراتی در میزان سطح و عمق تالاب می‌شوند. تراز آبی دریای خزر نیز همواره در حال تغییر است و روند این تغییرات ماهیت سینوسی دارد (Attarchi, Kharyaband & Attarchi, 2020؛ بنابراین، در فصل تابستان که سطح تراز دریا بالاست، آب تالاب نیز در سطح بالایی قرار دارد & Kharyaband & Shokohi, 2019Modaberi & Attarchi, 2020). به منظور آشکارسازی پوشش اراضی

جدول ۲. اطلاعات تصاویر استفاده شده دریافتی از ماهواره سنتینل-۲

ماهواره	تصویر	تاریخ دریافت	خط مسیر Path	خط برداشت ROW	توان تفکیک مکانی	منبع
سنتینل-۲	۲۰۲۰/۶/۱۹	۱۶۶	۳۴	۵	USGS	
سنتینل-۲	۲۰۱۶/۸/۱۹	۱۶۵	۳۴	۵	USGS	

1. Global Positioning System



شکل ۳. برداشت نمونه‌های تعلیمی با GPS

پیکسل به پیکسل)، امکان جبران برخی خطاهای آنها را دارد (Fatemi & Rezaei, 2013). مهم ترین بخش، قبیل از پردازش های تصاویر ماهواره ای، تصحیح اتمسفری است. تصحیح اتمسفری، در مواردی که به مقادیر انرژی ساطع شده از اشیا نیاز است و یا هنگامی که شدت سیگнал ارسالی از طرف اشیا کمتر از تأثیرات اتمسفری باشد، ضرورت دارد (Alavipanah, 2019). این تصحیح به ویژه در مواردی به کار می رود که مقایسه و تجزیه و تحلیل تصاویر چند زمانه مدنظر است (Hadjimitsis et al., 2010).

.(Hadjimitsis et al., 2010)

۲-۵- پردازش داده‌های ماهواره‌ای

۲-۵-۱- طبقه‌بندی

طبقه‌بندی تصاویر ماهواره‌ای، به منظور نسبت دادن ارزش‌های رقومی موجود در تصویر به گروه‌هایی با مشخصه‌های همگن، با هدف تمایز کردن اشیا یا پدیده‌های متفاوت از یکدیگر به کار می‌رود (Alavipanah, 2019). طبقه‌بندی تصاویر، در واقع، فرایندی است که طی آن تصویری ماهواره‌ای که از باندهای متفاوتی در طیف‌های متعدد امواج

1. Region of Interest

به دست آمده در مورد منطقه، به این نتیجه رسیدیم که برای تفکیک اراضی محدوده تالاب، طبقه‌بندی در هفت کلاس کاربری شامل نیزار، مرتع، کشاورزی، شهری، جنگل، پوشش آب و مناطق بایر ضروری است. همچنین به منظور تهیه نمونه‌های تعلیمی برای طبقه‌بندی هر دو تصویر، از تفسیر بصیری، ترکیب‌های رنگی کاذب و سامانه Google earth Pro استفاده شد که به صورت ROI^۱ در نرم‌افزار ENVI 5.6 وارد شد.

۴-۲- پیش‌پردازش داده‌های ماهواره‌ای

در مرحله پیشپردازش، قبل از هرگونه پردازش بصری یا رقومی، به خطاهای رادیومتری، اتمسفری، هندسی و دیگر موارد داده‌های خام توجه می‌شود؛ بنابراین شناسایی و تشخیص خطاهای احتمالی داده‌های ماهواره‌ای اهمیت بسیاری دارد. پس از دریافت داده‌ها، باید آنها را از نظر هندسی و رادیومتری بدقت بررسی کرد. حتی اگر قبلاً تصحیحاتی روی این داده‌ها انجام شده باشد، باید کاملاً درمورد خطاهای چنین داده‌هایی آگاهی داشت (Alavipanah, 2019). مرحله بعد تصحیحات رادیومتری است؛ شامل آن دسته از تصحیحاتی که فقط روی درجات خاکستری اعمال می‌شود و فقط با تغییر جداگانه مقادیر آنها (به صورت

۲-۵-۲- صحبت‌سننجی

لامه استفاده از هر نوع اطلاعات موضوعی آگاهی از درستی و صحت آن است. پس از طبقه‌بندی تصاویر ماهواره‌ای با استفاده از نمونه‌های تعلیمی که در روند طبقه‌بندی دخالت داده نشده‌اند، صحت تصویر طبقه‌بندی شده ارزیابی می‌شود. از روش‌های تعیین صحت کلی و ضریب کاپا در تعیین میزان خطأ و دقت طبقه‌بندی استفاده شد. میزان خطأ و دقت طبقه‌بندی که ممکن است ناشی از برجستگذاری اشتباه پیکسل‌ها پس از طبقه‌بندی باشد، باید تعیین شود. سنجش صحت نقشه‌های تهیه شده براساس تصاویر ماهواره‌ای اغلب از طریق تشکیل ماتریس خطأ انجام می‌شود (Hajibigloo et al., 2020) و صحت کلی برابر است با نسبت تعداد پیکسل‌های بهدرستی طبقه‌بندی شده طبقه به کل پیکسل‌های بهدرستی طبقه‌بندی شده در تمامی طبقات. ماتریس خطأ میزان تطابق هر کلاس طبقه‌بندی شده را با واقعیت زمینی نشان می‌دهد و قطر آن بیانگر درصد کلاس‌های Lillesand et al., (2004). صحت کلی براساس رابطه (۱) محاسبه می‌شود.

$$\text{وابطه } (1) \quad OA = \frac{1}{N} \sum P_{ii}$$

ضریب کاپا نیز میزان تطابق بین نتایج طبقه‌بندی و واقعیت زمینی را بیان می‌کند و با توجه به این نکته، تطابق‌های اتفاقی به وجود آمده از ملاحظات حذف می‌شوند (Richards, 1999). ضریب کاپا طبق رابطه (۲) بدست می‌آید.

$$\text{وابطه } (2) \quad KAPPA = \frac{P_0 - P_c}{1 - P_c} \times 100$$

۳- اکولوژی سیمای سرزمین

در مرور شیوه به کارگیری و تفسیر متريک‌ها به منظور شناسایي و کمي‌سازی فرایند فضائي مورد نظر، هنوز اجماع نظری میان اکولوژيست‌های سیمای سرزمین

1. Neural Network (ANN)

الکترومغناطیس تشکیل شده است، به نقشه کاربری تبدیل می‌شود؛ این نقشه بیانگر کلاس‌های متفاوت است و هر کلاس نیز به یک کاربری اشاره می‌کند. روش طبقه‌بندی نظارت شده بربایه معروفی دقیق نمونه طبقات و پدیده‌های مدنظر کاربر در سامانه تجزیه و تحلیل است. این نمونه‌ها که معمولاً از طریق کار میدانی، عکس‌های هوایی بزرگ‌مقیاس و نقشه‌های موضوعی تعیین می‌شوند، باید بهترین نحو معرف طبقات باشند (Malmiran, 2004; Alavipanah, 2019; Alizadeh Rabiei, 1993) (حداقل فاصله تا میانگین، حداقل احتمال و مواردی از این‌گونه) و ناپارامتریک (شبکه عصبی^۱، ماشین بردار پشتیبان و مواردی از این‌دست) در طبقه‌بندی به کار می‌روند. در این مطالعه، از روش‌های ناپارامتریک استفاده شده است. طبقه‌بندی کننده شبکه عصبی ساختار قدرتمندی برای فرایندهای کنترلی، طبقه‌بندی داده‌ها و خوش‌بندی اطلاعات دارد. وزن‌های شبکه عصبی مصنوعی مرحله‌به‌مرحله، براساس اطلاعات ورودی که دریافت می‌کند، تغییر کرده است و با افزایش میزان این اطلاعات، شبکه خطای خود را بیشتر کاهش می‌دهد. یکی از مرسوم‌ترین انواع شبکه‌های عصبی «شبکه عصبی پرسپترون» و متدالوئرین الگوریتم آموزشی این شبکه‌ها «الگوریتم پس‌انتشار خطأ» است (Tso & Mather, 2009). طبقه‌بندی ماشین بردار پشتیبان نیز از روش‌های کلاسه‌بندی الگوست که برای تفکیک کلاس‌ها در داده‌های آموزشی، ابررویه‌ها را روی آنها برآرازش می‌دهد. نخستین مرحله، برای تعیین ابررویه، یافتن نزدیکترین نمونه‌های آموزشی دو کلاس است. این نمونه‌های آموزشی «بردار پشتیبان» نام دارند. از جمله قابلیت‌های ماشین بردار پشتیبان توانایی غلبه بر مشکل توزیع غیرخطی داده‌های آموزشی است. در این حالت با استفاده از توابع کرنل، داده‌ها به فضایی با بعد بزرگ‌تر انتقال می‌یابند که در آن تفکیک‌پذیری بهتر انجام می‌شود و ابررویه جدا کننده در آن فضا تعیین می‌شود (Waske & Van der Linden, 2008).

- (۱) مساحت هر طبقه (CA): مجموعه مساحت‌های تمامی لکه‌های همسان در منطقه کل لبه یا حاشیه کلی (TE): بیانگر طول کل لبه‌ها و مزه‌های درون یک سیمای سرزمین که از طریق رابطه (۳) تعیین می‌شود.
 - در این معادله، طول لبه بین لکه‌های i و k است.
- $$TE = \sum_{k=1}^{m^1} eik \quad (3)$$
- (۴) تعداد لکه یا پهرو (NP)
 - (۵) نمایه شکل سیمای سرزمین (LSI)
 - (۶) نمایه درون پراکنش و مجاورت (IJI). این شاخص نشان‌دهنده نحوه پراکندگی لکه در سیمای سرزمین بوده است.
 - (۷) نمایه بزرگ‌ترین پچ (LPI) درصدی از کل مساحت منطقه را نشان می‌دهد که بزرگ‌ترین لکه آن را اشغال کرده است.
 - (۸) توزیع نسبت محیط به مساحت. میانگین (PARA_MN)

وجود ندارد و از سوی دیگر، معمولاً نحوه تغییرات متريک‌ها برآثر عوامل متفاوت ساختاری و در مناطق گوناگون دارای تفاوت است. از اين‌رو در استفاده و تفسير متريک‌ها باید دقت لازم به کار رود؛ بهنحوی که با توجه به هدف بررسی، متريک‌ها و رفتار آنها درنظر گرفته و از میان آنها، متريک‌های مناسب انتخاب شود. ازانجاكه هیچ‌يک از متريک‌های سيمای سرزمین بهنهایي نمی‌تواند بهطور كامل بیانگر وضعیت آشفتگی باشد، تیان^۱ و همکاران (۲۰۱۱) پیشنهاد کردند، همانند رابطه‌ای چندمتغیره، مجموعه‌ای از متريک‌ها با وزن‌های متناسب با هم ترکیب شوند. اين کار را می‌توان با اجرای تحلیل مؤلفه‌های اصلی (PCA)^۲ روی نتایج متريک‌ها و استفاده از مقادیر در تحلیل‌ها انجام داد. برای اجرای تحلیل PCA، از دو نرم‌افزار R و CANOCO به منزله نرم‌افزارهای متن‌باز و کاربردی استفاده شد و فهرست متريک‌های خروجی از اين تحلیل در جدول ۳ مشخص شده است. شکل ۴ چارچوب کلی تحقیق را نشان می‌دهد.

جدول ۳. متريک‌های خروجی تحلیل PCA

علامت اختصاری	متريک	واحد متريک	توضيحات
CA	مساحت کلاس	متربع	-
TE	حاشیه کلی یا لبه کل	متر	طول کل حاشیه‌ها در یک کلاس یا کل سیمای سرزمین
NP	تعداد لکه‌ها	-	تعداد لکه‌ها را در سیمای سرزمین و یا کل تعداد لکه‌ها را در طبقه‌ای خاص محاسبه می‌کند
LSI	نمایه شکل سیمای سرزمین	نadar	نسبت طول کل حاشیه لکه‌ها بر مساحت کل
IJI	پراکندگی و مجاورت	درصد	میزان گسترشی و توزیع لکه‌ها
LPI	نمایه بزرگ‌ترین لکه	درصد	نسبت مساحت بزرگ‌ترین لکه به کل سیمای سرزمین
PARA_MN	نسبت محیط به مساحت	-	نسبت محیط مجموع لکه‌های هر کلاس به مساحت لکه‌های همان کلاس
SHAPE_MN	میانگین شکل	-	نسبت مجموع محیط لکه‌ها تقسیم بر تعداد لکه‌ها از همان نوع
ENN_MN	میانگین نزدیک‌ترین همسایه	متر	-
AQREA_MN	اقلیدسی	-	کارکرد تعداد لکه‌ها در سطح کلاس است

1. Tian
2. Principal Component Analysis
3. patch

۴-۱- نتایج بررسی کاربری‌ها و مساحت کاربری‌ها در سطح بستر تالاب انزلی بین سال‌های ۲۰۱۶ تا ۲۰۲۰

نتایج تغییرات هر کلاس کاربری در الگوریتم ماشین بردار، طی دو دوره ۲۰۱۶ و ۲۰۲۰، در جدول ۵ بررسی شده و در جدول ۶ نیز، نتایج الگوریتم شبکه عصبی نشان داده شده است. با توجه به درصد هر کاربری در این دو دوره، نتیجه می‌گیریم کاربری‌های کشاورزی و مناطق شهری افزایش و کاربری‌های مرتع و نیزار نیز روندی کاهشی طی این چهار سال داشته‌اند. با توجه به جدول ۵، می‌توان نتیجه گرفت شهرنشینی و کشاورزی در اطراف سطح بستر تالاب روندی رو به افزایش است. در بین تمامی کاربری‌ها در سال ۲۰۱۶، بیشترین مورد به کلاس آب و کمترین میزان درصد به کلاس مناطق شهری بازمی‌گردد و در سال ۲۰۲۰، بیشترین درصد وسعت طبقات به کلاس آب و کمترین درصد وسعت به کلاس شهر تعلق دارد.

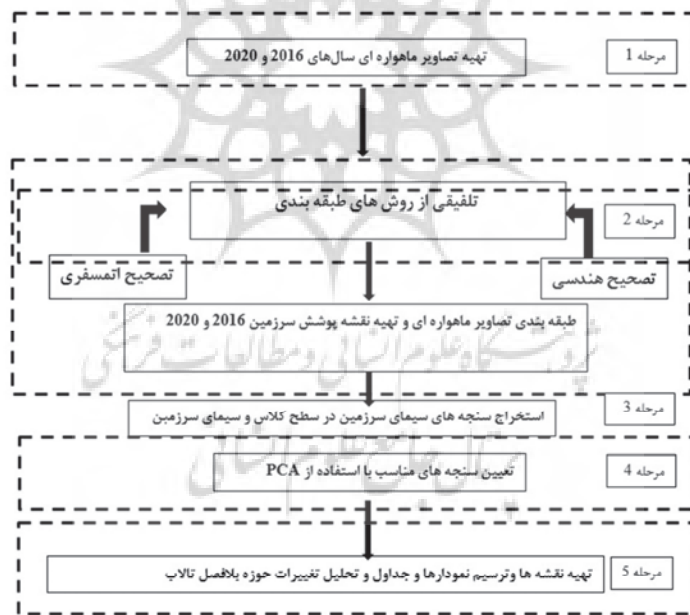
(SHAPE_MN) توزیع میانگین نمایه شکل

(ENN_MN) توزیع فاصله اقلیدسی نزدیکترین همسایه- میانگین

(AREA_MN) توزیع میانگین مساحت پهرو

۴- نتایج و بحث

طبقه‌بندی دو تصویر ماهواره‌ستینیل- ۲ با استفاده از دو الگوریتم SVM و ANN انجام شد. جدول ۴ بررسی نتایج حاصل از اجرای الگوریتم‌ها را نشان می‌دهد. الگوریتم ماشین بردار در سال ۲۰۱۶، با ضریب کاپایی کلی ۹۴/۰۱ و دقت کلی ۹۴/۰۹۱ و در سال ۲۰۲۰، با دقت کلی ۹۵/۶۱ و ضریب کاپایی ۰/۹۴، در قیاس با الگوریتم شبکه عصبی، نتایج و دقت بیشتری دارد.



شکل ۴. چارچوب کلی تحقیق

جدول ۴. صحت کلی و ضریب کاپا در طبقه‌بندی تصاویر ستینیل- ۲

الگوریتم	طبقه‌بندی کننده	ضریب کاپا	صحت کلی	ضریب کاپا	تصویر ستینیل- ۲، سال ۲۰۱۶	تصویر ستینیل- ۲، سال ۲۰۲۰	صحت کلی	ضریب کاپا	تصویر کاپا
ANN	طبقه‌بندی کننده	۰/۸۲	۸۷/۶۱	۰/۹۱	ضریب کاپا	۹۲/۸۶	صحت کلی	۹۴/۰۱	تصویر ستینیل- ۲، سال ۲۰۱۶
SVM	طبقه‌بندی کننده	۰/۹۱	۹۴/۰۱	۰/۹۴	ضریب کاپا	۹۵/۶۱	صحت کلی	۹۴/۰۹۱	تصویر ستینیل- ۲، سال ۲۰۲۰

ماشین بردار پشتیبان در سال ۲۰۱۶ و ۲۰۲۰ درمورد تصاویر سنتیبل-۲ در سطح بستر تالاب انزلی بهترین نتایج را دارد. نقشه‌های شکل‌های ۵ تا ۸ طبقات حاصل از دسته‌بندی تصاویر سنتیبل-۲، طی سال‌های ۲۰۱۶ و ۲۰۲۰ در سطح بستر تالاب انزلی را نشان می‌دهد.

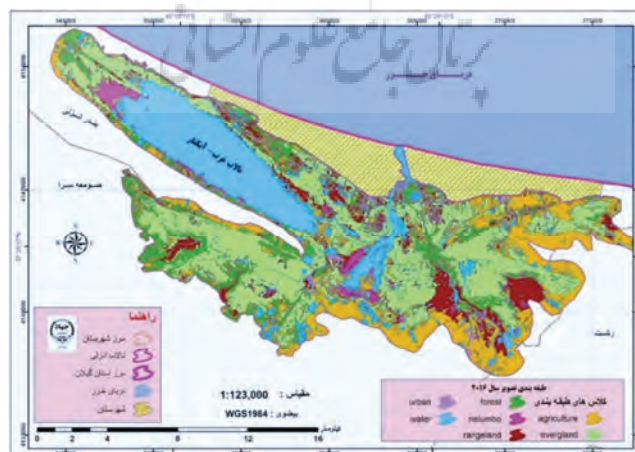
براساس جدول ۶، درصد حضور کاربری‌ها در نقشه حاصل از طبقه‌بندی با الگوریتم شبکه عصبی نشان می‌دهد کاربری کشاورزی، جنگل و نیزار، بین سال‌های ۲۰۱۶ و ۲۰۲۰، افزایش داشته است. همان‌طور که در ارزیابی صحت نقشه‌های کاربری حاصل از طبقه‌بندی کننده‌های ماشین بردار و شبکه عصبی بیان شد و همچنین بنابر جدول ۴، الگوریتم

جدول ۵. نتایج درصد هر کاربری در الگوریتم ماشین بردار پشتیبان (SVM)

کلاس طبقه‌بندی	تصویر سال ۲۰۱۶				تصویر سال ۲۰۲۰			
	درصد حضور	مساحت (هکتار)	درصد حضور	مساحت (هکتار)	درصد حضور	مساحت (هکتار)	درصد حضور	مساحت (هکتار)
پوشش نیزار (Everglade)	۱۱/۸۲	۲۹۶۲	۱۳/۱۷	۳۳۰۲				
مرتع (Rangeland)	۳/۱۸	۷۹۶	۴/۱۲	۱۰۳۱/۵				
کشاورزی (Agriculture)	۱۲/۸۷	۳۲۲۵	۸/۰۷	۲۰۲۲				
مناطق شهری (Urban)	۱/۰۴	۲۶۱	۰/۴۵	۱۱۲/۵				
جنگل (Forest)	۱/۸۸	۴۷۲	۳/۹۳	۹۸۵				
آب (Water Body)	۶۷/۷۲	۱۶۹۷۲	۶۹/۴۳	۱۷۴۰۰				
لاله تالایی (Nelumbo)	۱/۵۰	۳۷۵	۰/۸۴	۲۱۰				

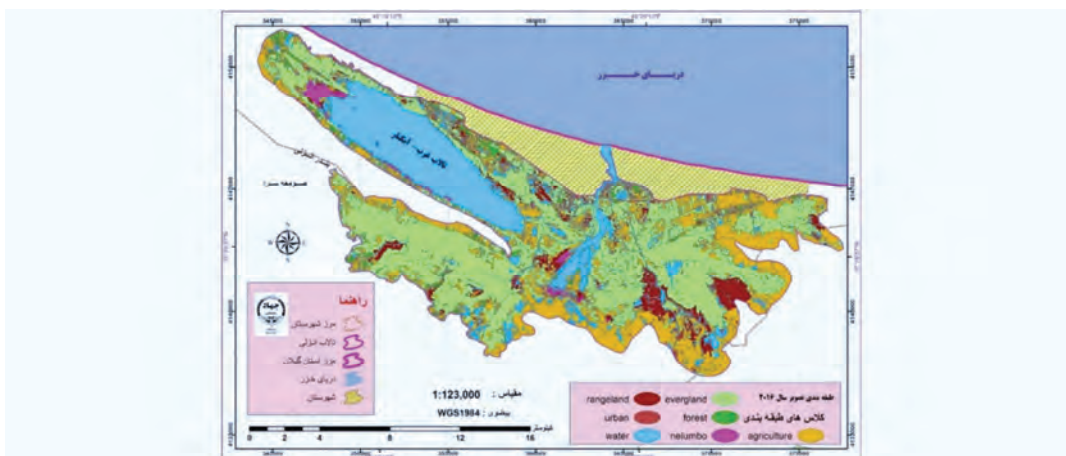
جدول ۶. نتایج درصد هر کاربری در الگوریتم شبکه عصبی (ANN)

کلاس طبقه‌بندی	تصویر سال ۲۰۱۶				تصویر سال ۲۰۲۰			
	درصد حضور	مساحت (هکتار)	درصد حضور	مساحت (هکتار)	درصد حضور	مساحت (هکتار)	درصد حضور	مساحت (هکتار)
پوشش نیزار	۱۷/۳۴	۴۳۴۷	۱۶/۴۲	۴۱۱۵				
مرتع	۲/۶۵	۶۶۵	۲/۷۱	۶۸۰				
کشاورزی	۹/۸۶	۲۴۷۰	۹/۸۲	۲۴۶۲				
شهر	۰/۴۲	۱۰۵	۰/۳۹	۹۷/۵				
جنگل	۱/۳۰	۲۲۵	۰/۳۹	۹۸				
آب	۶۷/۲۲	۱۶۸۴۸/۵	۶۹/۷۷	۱۷۴۸۵/۵				
لاله تالایی	۱/۲۱	۳۰۲/۵	۰/۵۰	۱۲۵				

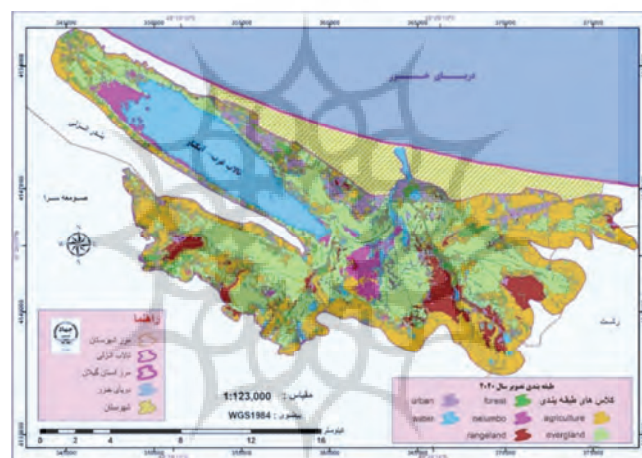


شکل ۵ نقشه طبقه‌بندی الگوریتم SVM، تصویر سال ۲۰۱۶

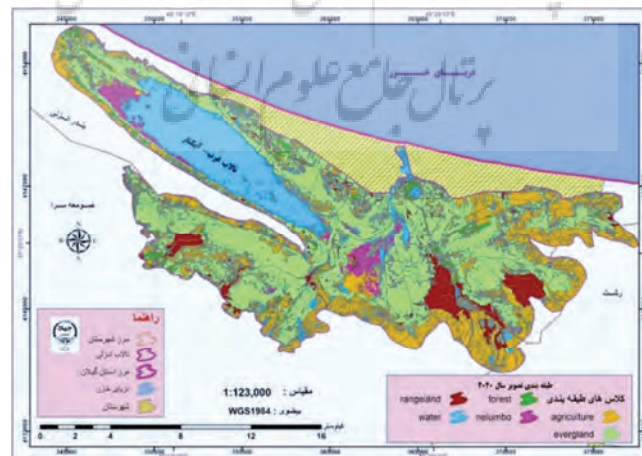
مریم حقیقی خمامی و همکاران



شکل ۶. نقشه طبقه‌بندی الگوریتم ANN، تصویر سال ۲۰۱۶



شکل ۷. نقشه طبقه‌بندی الگوریتم SVM، تصویر سال ۲۰۲۰



شکل ۸. نقشه طبقه‌بندی الگوریتم ANN، تصویر سال ۲۰۲۰

۴-۲-۲-۴- نتایج بررسی متريک‌ها در سطح سيمای سرزمین در بستر تالاب انزلي
جدول ۹ و شکل ۹ ميزان تغييرات متريک‌ها در سطح سيمای سرزمین در بستر تالاب انزلي. تمامی متريک‌ها، در سطح سيمای سرزمین بستر تالاب، روندی افزایشي داشته و متريک NP و IJI اندکی کاهش داشته‌اند.

۴-۲-۴- نتایج بررسی متريک‌ها در سطح کلاس در بستر تالاب انزلي
جدول ۷ و ۸ مقادير متريک‌های را نشان می‌دهد که براساس نتایج PCA، در نرم‌افزارهای R و CANOCO محاسبه شده است.

جدول ۷. تغييرات متريک در سطح کلاس بستر تالاب انزلي در سال ۲۰۱۶

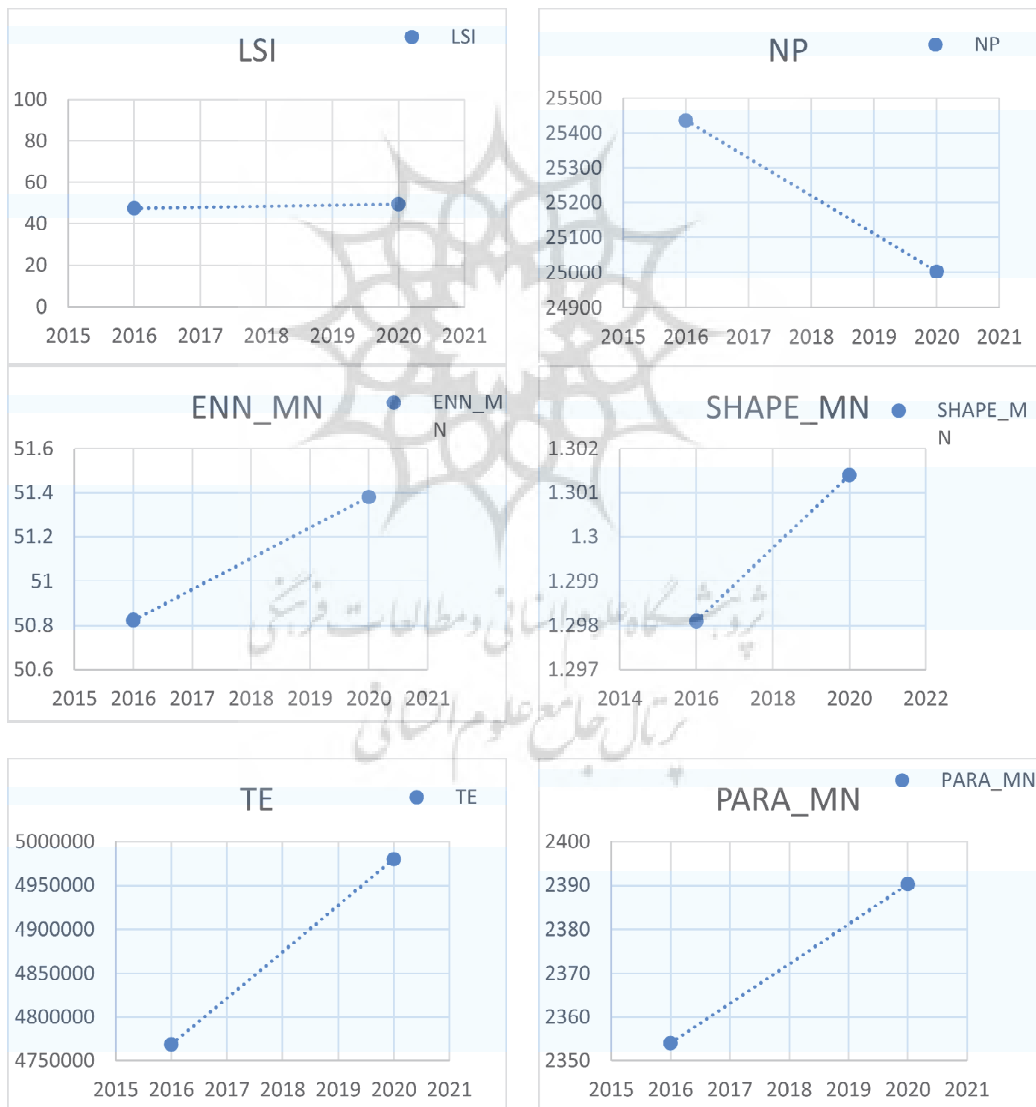
AREA_MN	IJI	PARA_MN	SHAPE_MN	ENN_MN	LSI	NP	TE	LPI	CA	کلاس‌های کاربری
1/6005	74/2314	2437/546	1/3276	39/4665	69/8168	5288	2569260	3/642	8463/52	نیزار (Everglade)
0/4645	78/2642	2342/732	1/31	47/525	86/0639	5922	1805620	0/418	2750/5	مرتع (Rangeland)
0/7725	78/7913	2362/452	1/2997	41/2944	80/6101	6917	2356860	1/2897	5343/59	کشاورزی (Agriculture)
0/2865	76/5712	2210/465	1/2858	81/8571	37/4914	1052	260940	0/025	301/39	شهری (Urban)
0/9626	65/9193	1998/764	1/3077	58/8008	58/2233	2706	1188890	0/3442	2604/75	جنگلی (Forest)
2/0935	76/5565	2761/226	1/2325	60/1682	30/5897	2408	869360	5/1315	5041/21	پیکره آبی (Water body)
0/4899	65/7423	2098/641	1/2153	111/1658	31/9112	1140	301880	0/2504	558/51	علله تالبی (Nelumbo)

جدول ۸. تغييرات متريک در سطح کلاس بستر تالاب انزلي در سال ۲۰۲۰

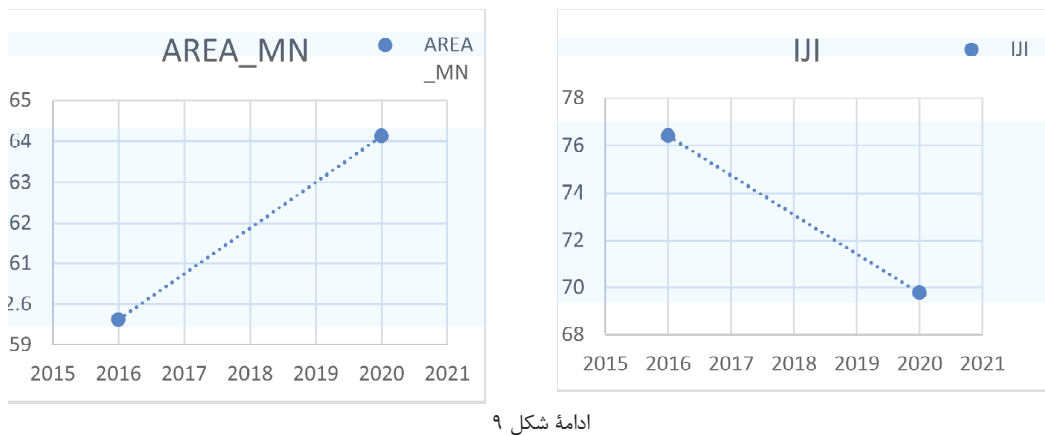
AREA_MN	IJI	PARA_MN	SHAPE_MN	ENN_MN	LSI	NP	TE	LPI	CA	کلاس‌های کاربری
1/2543	49/2129	2399/985	1/3303	37/348	80/6648	6252	2858740	2/885	7841/72	نیزار (Everglade)
1/3026	70/6997	2401/681	1/3608	35/4601	95/6194	6544	3531990	2/1563	8524/49	مرتع (Rangeland)
1/3026	60/7177	2401/681	1/3608	35/4601	95/6194	6544	3531990	2/1563	8524/49	کشاورزی (Agriculture)
0/3795	70/8792	2334/503	1/2871	64/6548	61/1651	2759	792700	0/158	1046/97	شهری (Urban)
0/4626	77/4579	1944/233	1/2738	67/3551	51/3911	2134	500/646	0/0646	987/24	جنگلی (Forest)
1/934	50/9882	2847/718	1/1794	69/3026	23/2348	2024	581800	4/837	3914/49	پیکره آبی (Water body)
0/5657	63/5903	2348/992	1/2536	82/9711	38/6593	1755	487880	0/3688	992/76	علله تالبی (Nelumbo)

جدول ۹. تغییرات متريک‌ها در سطح سيمای سرزمین در بستر تالاب ازلي

متريک	طبقه‌بندی تصویر ۲۰۱۶	طبقه‌بندی تصویر ۲۰۲۰
NP	25003	25437
LSI	4795/49	47/4233
SHAPE_MN	3014/1	1/2981
ENN_MN	3807/51	8235/50
PARA_MN	2390/2847	2354/0566
TE	4980170	4768800
IJI	69/7754	76/3933
AREA_MN	2/6413	2/5962



شكل ۹. نمودار تغییرات متريک‌ها در سطح سيمای سرزمین، بين سال‌های ۲۰۱۶ تا ۲۰۲۰



ادامه شکل ۹

کاربری‌های جنگل، کشاورزی و آب کاهش و در مابقی کلاس‌ها، روندی افزایشی داشته است. نتیجه آن است که افزایش هم‌زمان NP و CA، در کلاس‌های پوشش شهری و نیزار، به توسعه این نوع لکه‌ها اشاره دارد و کاهش CA و افزایش NP در کلاس پوشش جنگل نیز گویای ازهم گسیختگی است و از نظر زیستگاهی، اثر منفی داشته است.

LPI نشان‌دهنده مساحت بزرگ‌ترین لکه است؛ نتایج بررسی متريک آن، در کلاس کشاورزی و مرتع، افزایش را نشان می‌دهد و در بقیه کلاس‌ها ثابت است. افزایش LPI در کلاس کشاورزی بیان می‌کند بزرگ‌ترین لکه کشاورزی، به مرور زمان، وسعت یافته است. این شاخص، وقتی که در کنار NP بررسی شود و دارای کاهش باشد، یعنی لکه‌های کشاورزی NP به تدریج به هم پیوسته و بزرگ‌تر شده و یا لکه‌های دیگر به این کلاس کاربری تبدیل شده‌اند. این افزایش به‌دلیل تبدیل لکه‌های جنگل و آب است. نتایج مشابه در تحقیقات دیگر بازگو می‌کند افزایش NP نشانه تجزیه و روند افزایشی تخریب سیمای سرزمین بوده است. نتایج بررسی میرزاپی^۱ و همکاران (۲۰۱۳)، در استان مازندران، مطابق نتیجه این پژوهش است. نتیجه بررسی متريک NP و شاخص LPI افزایش حجم لکه

۵- تجزیه و تحلیل کلی متريک‌ها در سطح کلاس و سیمای سرزمین در بستر تالاب انزلی
تحلیل متريک‌ها در سطح کلاس از طریق محاسبه متريک‌های IJI، CA، TE، LSI، AREA_MN و LPI و ENN_MN انجام شد. برای تحلیل و درک متريک‌های سیمای سرزمین در سطح کلاس، متريک‌ها به صورت دسته‌ای تجزیه و تحلیل شدند. در این بین، متريک CA که بیان کننده مساحت هر طبقه است، کاهش لکه‌های جنگلی و لکه‌های پوشش آب و افزایش لکه‌های کشاورزی، شهری و مرتع را نشان می‌دهد که حاکی از توسعه لکه‌های انسان‌ساخت و کاهش توسعه لکه‌های طبیعی در بستر تالاب است. با توجه به اینکه لکه‌های انسان‌ساخت در حال افزایش است، می‌توان تأثیرات منفی در الگوی بستر تالاب را انتظار داشت. همچنان کاهش پوشش آب و افزایش طبقه کشاورزی و شهری چه بسا نتیجه افزایش زمین‌های تحت کشاورزی و تبدیل اراضی جنگلی و پوشش آب به این نوع کاربری‌ها باشد که نشان از خشکشدن تالاب و تجاوز به بستر تالاب با هدف کشاورزی و توسعه انسانی دارد. از دیگر سو، به علت افزایش دمای هوا در فصل‌های گرم، میزان تبخیر از سطح تالاب و تبخیر و تعرق از گیاهان تالابی نیز افزایش می‌یابد (Modaberi & Shokohi, 2019). بررسی متريک NP که بیان کننده تعداد لکه است، نشان می‌دهد این متريک در

1. Mirzayi

نتایج ناشی از سنجه مجاورت و پراکندگی (IJI) نشان می‌دهد، در کاربری آب، با کاهش و در دیگر کاربری‌ها، با روندی ثابت مواجهیم. کاهش این سنجه نشان دهنده کوچک شدن لکه آب و خالی شدن بیشتر مناطق تالاب از پوشش آب است. در سطح سیمای سرزمین، متريک‌ها در مقیاس بزرگ‌تر و در سطح کل پهنه منطقه مورد مطالعه برای کاربری‌های متفاوتی ارزیابی می‌شوند. تحلیل متريک‌ها در سطح سیمای سرزمین با محاسبه ENN_MN SHAPE_MN LSI LPI NP متریک‌های LPI TA، IJI، TE، PARA_MN و شامل لکه‌های بزرگ‌تر و از لحاظ مشابه کنار یکدیگر قرار نمی‌گیرند (Mokhtari & Sayah Nia, 2016). روند تغییرات این متريک در بستر تالاب، در دوره مطالعه، با کاهش روبه رو شده است. کاهش آن در سطح سیمای سرزمین نشان می‌دهد لکه‌ها با هم اختلاط مطلوب ندارند (یعنی لکه‌های گوناگون کنار یکدیگر قرار نگرفته‌اند). متريک کل لبه در سطح سیمای سرزمین نیز روندی افزایشی داشته که بیانگر افزایش طول لبه‌ها و بروز ازهم‌گسیختگی است. روند NP یا تعداد لکه در سطح سیمای سرزمین بستر تالاب کاهش و TE افزایش داشته است؛ این مسئله گویای گسترش لکه‌های موجود و توسعه‌یافتنی آنهاست. متريک میانگین شکل لکه یا SHAPE_MN نشان دهنده توزیع مکانی لکه‌هاست. افزایش این متريک در سطح سیمای سرزمین به تعداد پایین لکه‌ها در بستر تالاب و گسترش آنها اشاره دارد. متريک PARA-MN یا نسبت محیط به مساحت و سنجه میانگین فاصله اقلیدسی نزدیک‌ترین همسایه (ENN) که میزان تکه‌شدنی لکه‌های یک کلاس را نشان می‌دهد، نیز روندی افزایشی را در بین تمامی کلاس‌ها دارد. سه متريک LPI، TA، LPI و طی دوره مطالعه روندی ثابت داشته‌اند.

کشاورزی را نشان می‌دهد و این بدان مفهوم است که کاربری کشاورزی به سمت افزایش گستردگی در لکه اصلی پیش رفته و این تبدیل‌ها بدون برنامه‌ریزی و به حالت نامنظم است؛ از آنجاکه کاربری کشاورزی عملی انسانی است، موجب تخریب سایر کاربری‌ها شده است. متريک TE طول کل لبه‌ها و مرزهای سیمای سرزمین است و نتایج آن در کاربری شهری، کشاورزی و مرتع روندی افزایشی و در کاربری جنگل و آب، روندی کاهشی داشته است. سیمای سرزمین منطقه مورد مطالعه، در سال ۲۰۱۶، شامل لکه‌های بزرگ‌تر و از لحاظ شکل، ساده‌تر و از نظر پراکنش، متتمرکزتر بوده و روند توسعه و گسترش فعالیت‌های انسانی باعث کوچک‌ترشدن لکه‌ها و شکل نامنظم آنها شده است. متريک LSI شاخص شکل سیمای سرزمین است؛ افزایش آن نشان از افزایش پراکندگی و درنتیجه، بی‌نظمی کاربری‌ها، به جز پوشش آب، اشاره می‌کند. افزایش این متريک، در کاربری کشاورزی و شهری، گویای پیچیده‌ترشدن و نامنظم‌ترشدن شکل هندسی کاربری‌هاست که با توجه به افزایش میزان این کاربری‌ها طی روند مطالعه، چنین نتایجی دور از انتظار نیست. متريک AREA_MN، یا میانگین مساحت پهرو، طی این دوره در کلاس‌های کاربری شهری، کشاورزی و مرتع، روندی افزایشی داشته است. افزایش این متريک نشان دهنده بزرگ‌شدن یک لکه است که با توجه به افزایش لکه‌های انسان‌ساخت و کاهش در کاربری جنگل، با تخریب در بستر تالاب مواجهیم. متريک میانگین شکل لکه یا SHAPE_MN به توزیع مکانی لکه‌ها اشاره دارد. کاهش این متريک در سطح سیمای سرزمین، در کلاس پوشش آب، بیانگر تعداد زیاد لکه‌های آب در بستر تالاب و پراکنش آنهاست. متريک PARA-MN یا نسبت محیط به مساحت و سنجه میانگین فاصله اقلیدسی نزدیک‌ترین همسایه (ENN) که میزان تکه‌شدنی لکه‌های یک کلاس را نشان می‌دهد نیز روندی ثابت را بین تمامی کلاس‌ها دارد.

درمورد منطقه ارسباران نیز، مطابقت دارد و افزایش متربک تعداد لکه، در هر دو تحقیق، گویای از هم‌گسیختگی کاربری‌های طبیعی به دنبال کاربری‌های انسانی است. همچنین متربک مساحت لکه و تراکم حاشیه بیانگر کاربری نیزار است که بیشترین سهم را در بین کاربری‌ها در بستر تالاب دارد و به عبارتی، عنصر اصلی سیمای سرزمین بستر تالاب کاربری نیزار است. جنگل‌های منطقه که زمانی به هم‌پیوسته و دارای یکپارچگی بسیار بودند، دچار فرایند تکه‌تکه شدگی^۳ و از هم‌گسیختگی شده‌اند. این فرایند که تغییرات ساختاری شدیدی در سیمای سرزمین ایجاد کرده، به فروافت کارکرد آن منجر خواهد شد و علاوه بر کاهش بازدهی به دلیل کوچک شدن قطعات زمین، موجب افزایش دسترسی انسانی در سیمای سرزمین می‌شود و زمین‌های مرغوب باقی‌مانده در معرض تهدید ساخت‌وسازهای کنترل شده قرار می‌گیرد. این نتیجه با نتایج پژوهش طالبی امیری^۴ و همکاران (۱۳۸۸) مطابقت دارد که هدف آن تحلیل تخریب سیمای سرزمین حوضه آبخیز نکا بوده است. تفسیر نتایج گویای این واقعیت نیز است که لکه‌های انسان‌ساخت و کشاورزی در سیمای سرزمین، در بازه زمانی مورد نظر، روند تغییراتی کاملاً هم‌سو را طی کرده‌اند که این ممکن است ناشی از اثر مستقیم و شدت بیشتر حضور انسان در تعیین الگوی چینش آنها، در مقایسه با دیگر کاربری‌ها باشد. این نتیجه با نتایج مطالعات شهپریان^۵ و همکاران (۲۰۱۴) تطبیق دارد که در پی ارزیابی تغییرات الگوهای مکانی سیمای سرزمین در حاشیه رودخانه زاینده‌رود بوده‌اند و همچنین دریافتند که پوشش اراضی با این منطقه دچار کاهش سطح و تخریب شده است. افزایش مناطق کشاورزی و شهری حاصل تبدیل اراضی جنگلی و پوشش آب به این

۶- نتیجه‌گیری

تالاب بین‌المللی انزلی، بهمنزله یک اکوسیستم آبی منحصر به فرد در شمال کشور، خدمات و کارکردهای بسیاری برای ذی‌نفعان گوناگون دارد. در سال‌های اخیر و تحت تأثیر عوامل طبیعی و انسانی، ادامه حیات این تالاب با خطرهای مهمی مواجه شده و مهم‌ترین عوامل ایجاد‌کننده این تغییرات تبدیل کاربری اراضی است. بدین‌دلیل، بررسی و آشکارسازی تغییرات پوشش کاربری اراضی برای برنامه‌ریزی‌های فعلی و آتی استفاده از سرزمین، به منظور حفاظت و احیای این اکوسیستم طبیعی، اهمیت می‌یابد. در این مطالعه، با استفاده از داده‌های ماهواره سنتیل-۲ و متربک‌های سیمای سرزمین، تغییرات کاربری اراضی در سطح کلاس و سیمای سرزمین تالاب انزلی بررسی شد. قدرت تفکیک بالای تصاویر سنتیل-۲ موجب افزایش دقت در طبقه‌بندی، محاسبه متربک‌های سرزمین و بهبود تجزیه و تحلیل تغییرات کاربری‌های گوناگون می‌شود.

نتایج پژوهش حاضر، با استفاده از متربک‌های سطح سیمای سرزمین و کلاس، بیان می‌کند که به طور کلی سیمای سرزمین در این منطقه تکه‌تکه، از نظر شکلی پیچیده‌تر و نامنظم‌تر، و از نظر میزان یکپارچگی عناصر ساختاری، ناپیوسته‌تر شده است. تفسیر نتایج نشان می‌دهد عوامل اصلی این تغییرات پویایی شدید کاربری انسان‌ساخت و کاربری کشاورزی در منطقه، طی مقطع زمانی مورد نظر بوده که درنهایت، اثرگذاری بیشتری داشته‌اند. این نتیجه با نتایج تحقیق کرمی و فقهی^۶ (۲۰۱۲)، در کمی کردن سنجه‌های سیمای سرزمین به منظور حفاظت از الگوی کاربری اراضی پایدار استان کهگیلویه و بویراحمد، مطابقت دارد. در واقع، افزایش مساحت کل کلاس و تعداد لکه‌ها، تراکم حاشیه و مساحت بزرگ‌ترین اندازه لکه کاربری شهری و کشاورزی نشان‌دهنده کاهش مساحت کاربری آب و جنگل و کاهش شدید اندازه بزرگ‌ترین لکه در طول سالیان، درمورد کاربری جنگل است. نتایج این پژوهش، با تحقیق نصیری و درویش‌صفت^۷ (۲۰۱۸)

-
1. Karami & Feghhi
 2. Nasiri & Darvishsefat
 3. Fragmentation
 4. Talebi Amiri
 5. Shahparian

- Ground Data in Zanjan Province**, Iranian Journal of Remote Sensing & GIS, 14(3), PP. 1-14.
<https://doi.org/10.52547/gisj.14.3.1>
- Bennett, G. & Mulongoy, K.J., 2006, **Review of Experience with Ecological Networks, Corridors and Buffer Zones**, Technical Series; Secretariat of the Convention on Biological Diversity: Montreal, QC, Canada, 23. P. 100.
<https://www.cbd.int/doc/publications/cbd-ts-23.pdf>
- Dashti, S., Sabzghabaei G.R., Jafarzadeh, K. & Bazmara Baleshti, M, 2019, **Changes Detection Assessment of Miankaleh Coastal wetland by Landuse Planning Approach**, Journal of Wetland Ecobiology, 10(4), PP.5-20.
<https://jweb.ahvaz.iau.ir/article-1-728-en.html>"
- Dehkordi, A., Valadanzouj, M.J. & Safdarinezhad, A., 2022, **Cropland Mapping through Integration of Segmentation and Classification Techniques in Google Earth Engine**, Iranian Journal of Remote Sencing & GIS, 4(1), PP. 1-19.
<https://doi.org/10.52547/gisj.14.1.1>
- Department of Environment, 2022, **Introducing Iran's Wetlands and the Ramsar Convention**, <https://crw.doe.ir/portal/file>.
- Fatemi S.B. & Rezaei, Y., 2013, **Basics of Remote Sensing**, Azadeh Publications, Tehran.
- Gallego, F.J., 2004, **Remote Sensing and Land Cover Area Estimation**, International Journal of Remote Sensing, 25(15), PP. 3019-3047.
<https://doi.org/10.1080/01431160310001619607>
- Ghahraman, A. & Atar, F., 2002, **Anzali Wetland in Danger of Death (an Ecologic- Floristic Research)**, Journal of Environmental Studies, 28, PP. 1-38
- Ghorbani, R., Taghipour, A.A. & Mahmoudzadeh, H., 2013, **Analysis and Evaluation of Land Use Changes in International Wetlands of Ala-Gol, Alma- Gol & Ajay-Gol In Turkaman Sahra, Using Multi-temporal Satellite Images**, Geography and Environmental Planning, 33(48), PP. 167-186.
doi: 20.1001.1.20085362.1391.23.4.11.5

کاربری هاست که با توجه به رابطه مستقیم تراز سطح آب تالاب با تراز سطح آب دریای خزر، این عوامل در کنار گسترش مناطق شهری و زراعی، نشان از پیشروی بهسوسی بسترها آبی تالاب دارد و در صورت نبود برنامه ریزی صحیح، به خشک شدن تالاب خواهد انجامید.

۷- تشکر و قدردانی

این مطالعه با حمایت جهاد دانشگاهی و ازوی پژوهشکده محیط‌زیست جهاد دانشگاهی گیلان انجام شده است. از حمایت و همکاری تمامی عزیزانی که ما را در تحقق آن یاری کردند، قدردانی می‌کنیم.

۸- منابع

- Acreman, M.C. & Hollis, G.E., 1996, **Water Management and Wetlands in Sub-Saharan Africa**, IUCN, Gland, Switzerland.
- Alavipanah, S.K., 2019, **Principles of Modern Remote Sensing and Interpretation of Satellite Images and Aerial Photographs**, Tehran University Press, Tehran.
- Alizadeh Rabiei, H., 1993, **Remote Sensing (Principles and Application)**, Samt Publications, University of Tehran, Tehran.
- Arekhi, S., 2015, **Application of Landscape Metrics in Assessing land Use Changes' Trend by Using Remote Sensing and GIS Case Study: Dehloran Desert area**, Geography and Development, 13(40), PP. 5-68.
doi: 10.22111/GDIJ.2015.2098
- Ashouri, A. & Abdoos, A., 2012, **Important Wetland Habitats of Gilan Water Birds**, Katiba Gil Publications, Rasht.
- Barati, B., Jahani, A., Zebardast, L. & Raygani, B., 2017, **Integrated Assessment of te Protected Areas Using Landscscape Ecological Approach 9Case Stud: Kolah Ghazy Natinal Patk and Wildlife Refuge**, Town and Coubtry Planning, 9(1), PP. 153- 168.
doi: 10.22059/JTCP.2017.61412
- Bayat, M., Mirakhorloo, Kh., Sadeghzadeh, H. & Heidari Masteali., S., 2022, **Preparation and Verification of Poplar Plantation Mapping Using Satellite Data of Sentinel-2 and**

- Hadjimitsis, D.G., Papadavid, G., Agapiou, A. & Themistocleous, K., 2010, **Atmospheric Correction for Satellite Remotely Sensed Data Intended for Agricultural Applications: Impact on Vegetation Indices**, Natural Hazards and Earth System Sciences, 10(4), PP. 89-95.
doi: 10.5194/nhess-10-89-2010
- Hajibigloo, M., Berdi Sheikh, V., Memarian, H. & Chooghi Bairam, K., 2020, **Determination of Quantity and Allocation Disagreement Indices in Selection of Appropriate Algorithm for Land Use Classification in Pixel and Objected Base in Gorgarood River Basin**, RemOte Sensing & GIS in Natural Resources, 10(4), PP. 1-20.
<http://dorl.net/dor/20.1001.1.26767082.1398.10.4.1.4>
- Javedankherad, E., Esmaeili Sari, A. & Bahramifar, N., 2011, **Investigation of Persistent Organic Pollutants Residue in Sediments of International Anzali Wetland, Iran**, Journal oF Envirnmental Studies, 37(57), PP. 35-44.
doi: 20.1001.1.10258620.1390.37.57.5.3
- Karami, A. & Feghhi, J., 2012, **Investigation of Quantitative Metrics to Protect the Landscape in Land Use by Sustainable Pattern (Case Study: Kohgiluyeh and Boyer Ahmad)**, Journal oof Environmental Stuies, 37(60), PP. 79-88.
doi: 20.1001.1.10258620.1390.37.60.8.2
- Karami, P. & Mirsanjari, M.M., 2018, **Analysis of Landscape Degradation in the Hawizeh Wetland by Using Remote Sensing**, Journal of Wetland Ecobiology, 10(35), PP. 39-45.
doi: 10.1007/s10661-014-4156-0
- Kharyaband, S. & Attarchi, S., 2020, **Evaluation of Anzali Wetland Depth Changes Using Satellite Images and Meteorological Data over Thirty Years**, International Journal of Remote Sensing & GIS, 12(2), PP. 73-82.
<https://doi.org/10.52547/gisj.12.2.73>
- Kim, K.G., Lee, H. & Lee, D.H., 2011, **Wetland Restoration to Enhance Biodiversity in Urban Areas-A Comparative Analysis**, Landscape Ecol. Eng., 7, PP. 27-32.
doi: 10.1007/s11355-010-0144-x
- Kool, J., Lhermitte, S., Hrachowitz, M., Bregoli, F. & McClain, M.E., 2022, **Seasonal Inundation Dynamics and Water Balance of the Mara Wetland, Tanzania Based on Multi-Temporal Sentinel-2 Image Classification**, International Journal of Applied Earth Observation and Geoinformation, 109, P. 102766.
<https://doi.org/10.1016/j.jag.2022.102766>
- Lambin, E. F., & Geist, H. J., 2006, **Land-use and land-cover change: Local Processes and Global Impacts**, Springer.
- Lillesand, T.M., Kiefer R.W. & Chipman, J.W., 2004, **Remote Sensing and Image Interpretation**, fifth ed., J. Wiley & Sons, Inc., New York.
doi: 10.2307/634969
- Madadi, H. & Ashrafzadeh, M.R., 2010, **A Study of Land Cover Change in Bamdej Wetland with Landscape Ecology Approach**, Journal of Marine Science and Technology, 9(1), PP. 51-61.
- Mahdianpari, M., Salehi, B., Mohammadimanesh, F., Homayouni, S. & Gill, E., 2018, **The First Wetland Inventory Map of Newfoundland at a Spatial Resolution of 10 m Using Sentinel-1 and Sentinel-2 Data on the Google Earth Engine Cloud Computing Platform**, Remote Sensing, 11(1), P. 27.
<https://doi.org/10.3390/rs11010043>
- Maleki Najafabadi, S., Sofianian, A. & Rahdar, V., 2011, **Landscape Change Detection in Mouteh Wildlife Refuge, Using Geographic Information Systems**, Journal of Natural Environment, 63(4), PP. 373-387.
- Malmiran, H., 2004, **Guide for Preparing Thematic Maps from Satellite Images**, Third edition, Publications of the Geographical Organization of the Ministry of Defense and Armed Forces Support, Tehran.
doi: 20.1001.1.25883860.1376.6.23.3.4
- Martin-Gallego, P., Aplin, P., Marston, C., Altamirano, A. & Pauchard, A., 2020, **Detecting and Modelling Alien Tree Presence Using Sentinel-2 Satellite Imagery in Chile's Temperate Forests**, Forest Ecology and Management, 474, P. 118353.

- <https://doi.org/10.1016/j.foreco.2020.118353>
- Mathur, A. & Foody, G.M., 2008, **Crop Classification by Support Vector Machine with Intelligently Selected Training Data for an Operational Application**, International Journal of Remote Sensing, 29(8), PP. 2227-2240.
<https://doi.org/10.1080/01431160701395203>
- Matsushita, B., Xu, M. & Fukushima, T, 2006, **Characterizing Changes in Landscape Structure in the Lake Kasumigaura Basin, Japan Using a HighQuality GIS Dataset**, J. of Landscape and Urban Planning, 78(3), PP. 241-250.
<https://doi.org/10.1016/j.landurbplan.2005.08.003>
- Meyer. W.B. & Turner, B.L., 1994, **Changes in Land Use and Land Cover: A Global Perspective**, Cabridge University Press.
- Mirzayi, M., Riyahi Bakhtiyari, A., Salman Mahimi, A. & Gholamalifard, M., 2013, **Investigating the Land Cover Changes in Mazandaran Province Using Landscape Ecology's Metrics Between 1984-2010**, Iranian Journal of Applied Ecology, 2(4), PP. 37-54
doi: 20.1001.1.24763128.1392.2.4.5.0
- Modaberi, H. & Shokoohi, A., 2019, **Determining Anzali Wetland Environmental Water Requirement Using Eco-Hydrologic Methods**, Iran Water Resources Research, 15(3), PP. 91-104.
doi: 20.1001.1.17352347.1398.15.3.7.8
- Mokhtari Z. & Sayah Nia, R., 2016, **The Basics of Studying and Quantifying the Landscape Structure Along with FRAGSTATS 4.2 Software Guide**, Avai Qalam Publications, Tehran.
- Nasiri, V. & Darvishsefat, A., 2018, **Analysis of Land Use and Land Cover Using Ecological Landscape Metrics (Case Study: Arasbaran Region)**, Environmental Sciences, 16(3), PP. 101-118.
doi: 10.22069/JWFST.2019.14944.1744
- Nazar Neghad, H., Hosseini, M. & Mostafazadeh, R., 2020, **Assessment of Changes in Landuse Connectivity and Pattern Using Landscape Metrics in the Zolachai Watershed, Salmas**, Geographical Planning of Space Quarterly Journall, 9(34), PP. 53-60.
doi: 10.30488/GPS.2020.95381.2570
- Orimoloye, I.R., Mazinyo, S.P., Kalumba, A.M., Nel, W., Adigun, A.I. & Ololade, O.O., 2019, **Wetland Shift Monitoring Using Remote Sensing and GIS Techniques: Landscape Dynamics and Its Implications on Isimangaliso Wetland Park, South Africa**, Earth Science Informatics, Springer, Vol. 12, PP. 553-563.
doi: 10.1007/s12145-019-00400-4
- Phiri, D., Simwanda, M., Salekin, S., Nyirenda, V.R., Murayama, Y. & Ranagalage, M., 2020, **Sentinel-2 Data for Land Cover/Use Mapping: A Review**, Remote Sensing, 12(14), P. 229.
<https://doi.org/10.3390/rs12142291>
- Rafii, Y., Alavipanah, S.K., Malekmohammadi, B., Ramazani Mehrian, M. & Nasiri, H., 2012, **Producing Land Cover Maps Using Remote Sensing and Decision Tree Algorithm (Case Study: Bakhtegan National Park and Wildlife Refuge)**, Geography and Environmental Planning, 23(3), PP. 93-110.
- Rajaei, F., Esmaili Sari, A., Salmanmahiny, A., Delavar, M. & Massah Bavani, A.R., 2020, **Assessment of Land Changes in Tajan River Watershed with Emphasis on Landscape Metrics**, Journal of Environmental Science & technology, 22(1), PP. 351- 366.
doi: 10.30495/jest.2018.16325.2477
- Richards, J.A., 1999, **Remote Sensing Digital Image Analysis**, Springer-Verlag, Berlin.
- Sarouei, S., Darishsefat, A. & Namiranian, M., 2020, **Modeling the Yield of Woody Biomass on the Ground of Zagros Oak Forests Using Sentinel-1 Satellite Radar Data**, Remote Sensing and Iran GIS, 12(4), PP. 36-52.
<https://doi.org/10.52547/gisj.12.4.35>
- Shahparian, M., Mehdipour, N., Shafizadeh, M. & Fakheran, S., 2014, **Evaluation of Changes in the Spatial Patterns of the Landscape of Zayandehroud River in the Last Decade**, The Second National Conference on Climate

Change and Sustainable Development
Engineering of Agriculture and Natural
Resources, Shahid Beheshti University,
Tehran, 26 Shahrivar.

Talebi Amiri, Sh., Azari Dehkordi, F., Sadeghi,
S.H. & Soofbaf, S.R., 2009, **Analysis of
Landscape Degradation in the Neka
Watershed Using Landscape Ecology
Metrics**, Journal of Environmental Sciences,
6(3), PP. 133-144.

Tian, Y., Jim, C., Tao, Y. & Shi, T., 2011,
**Landscape Ecological Assessment of Green
Space Fragmentation in Hong Kong**, Urban
Forestry & Urban Greening, 10, PP. 79-86.
<https://doi.org/10.1016/j.ufug.2010.11.002>

Tso, B. & Mather, P.M., 2009, **Classification
Methods for Remotely Sensed Data**, Taylor
and Francis Group, LLC, CRC Press, New
York. PP. 376.
<https://doi.org/10.1201/9781420090741>

Waske, B. & Van der Linden, S., 2008,
**Classifying Multilevel Imagery from SAR
and Optical Sensors by Decision Fusion**,
IEEE Transactions on Geoscience and
Remote Sensing, 46(5), PP. 1457-1466.
doi: 10.1109/TGRS.2008.916089

Wei, C., Guo, B., Fan, Y., Zang, W. & Ji, J., 2022,
**The Change Pattern and Its Dominant
Driving Factors of Wetlands in the Yellow
River Delta Based on Sentinel-2 Images**,
Remote Sensing, 2(14), P. 4388.
<https://doi.org/10.3390/rs14174388>



سنجش از دور

،

GIS ایران



سنجش از دور و GIS ایران سال پانزدهم، شماره چهارم، زمستان ۱۴۰۲
Vol.15, No. 4, Winter 2023 Iranian Remote Sensing & GIS

61-82

Application of Sentinel- 2 Satellite Data in Investigating Land Cover Changes in the Bed of Anzali Wetland

Haghghi Khomami M.^{1*} Panahandeh M.², Tajaddod M.J.², Jamalzad Fallah F.⁴, Abdoli M.⁵

1. Instructor of Natural Environment Research Group, Academic Center for Education Culture & Research (ACECR), Environmental Research Institute, Rasht
2. Assistant Prof. of Waste Processing Research Group, Academic Center for Education Culture & Research (ACECR), Environmental Research Institute, Rasht
3. Research Expert, Natural Environment Research Group, Academic Center for Education Culture & Research (ACECR), Environmental Research Institute, Rasht
4. Assistant Prof. of Natural Environment Research Group, Academic Center for Education Culture & Research (ACECR), Environmental Research Institute, Rasht, Iran.
5. Research Expert, Natural Environment Research Group, Academic Center for Education Culture & Research (ACECR), Environmental Research Institute, Rasht

Abstract

Wetlands as an integral part of the global ecosystem in flood prevention or mitigation, feeding aquifers and providing unique habitat for plants and animals and other services and benefits are key elements of a regional conservation strategy. Anzali International Wetland in Guilan Province is one of the 10 most valuable wetlands in the world, which has undergone many changes in land use and vegetation due to structural changes resulting from man-made processes, and its nature and ecological functions have been endangered. The purpose of this study is to investigate the application of remote sensing data in mapping changes in the spatial pattern of the landscape with the help of field work training areas at the bed of the wetland and to analyze the changes of territorial cohesion based on the metrics of the landscape. First, satellite data were analyzed and Sentinel -2 images from 2016 to 2020 were classified by training areas. Then, a map of land cover in 7 classes of agriculture, barren, reed, forest, rangeland, water and urban area was created for mapping and analysis of land use metrics. After extracting class-level and landscape-level metrics in Fragstats software and determining appropriate metrics using PCA method with R and Canoco software, LPI, LSI, ENN_MN, CA, TE, NP, SHAPE_MN, PARA_MN, IJN, ARE_ Applications were selected for better analysis of the area. Analysis of metrics indicates that, in general, the landscape is fragmented, more complex and irregular in form, and more discontinuous in terms of the degree of integration of structural elements.

Keywords: Landscape metric, Remote sensing, Land use, Structural changes, Anzali wetland.

* Correspondence Address: Guilan, Rasht, Mellat St., West Side of Mohtasham Park, Shahid Siadati St., Environmental Research Institute. Tel: 09118067703, Fax: 01333364028
Email: haghghi@acecr.ac.ir
<https://orcid.org/0000-0002-7053-8020>
<https://dx.doi.org/10.48308/gisj.2022.102888>



Copyright: © 2023 by the authors. Submitted for possible open access publication under the terms and conditions of the Creative Commons Attribution (CC BY) license (<https://creativecommons.org/licenses/by/4.0/>).